

新潟大学工学部
新潟大学大学院
同上

正員 小川正二
学生員 ○ 目黒信一
阿部義寛

[本文がき] 新潟地震以来、飽和砂地盤の液状化現象についての研究が盛んに行はれ、その発生機構の解明についてはかなりの進展がみられていく。しかし、液状化した砂層が地中構造物に与える影響に関しては、まだ十分に解明されていないとは言ひ難い。著者は飽和砂層に杭模型を直立し、振動台上により水平振動を加えて液状化現象を発生させ、そのときの杭の挙動を調べる模型実験を行なった。本報告はその結果について述べるものである。特に、液状化砂層の推移と杭の挙動および液状化時に発生するグランド・ブレークが杭の挙動に与える影響について述べている。なお、本実験は液状化砂層における杭の挙動を定性的に調べたものである。また、現地盤との相似についても考慮していよい。

[実験方法] 実験装置の全体図を図1に示す。杭模型はアルミニウム合金で、厚さ0.4cm、幅1.0cm、長さ40cm、曲げ剛性 3000 kg/cm^2 である。杭には図1に示すようにG1…G9の位置にひずみゲージがはってある。砂は新潟砂で粒径2mm以下、 $G_s=2.77$ 、 $D_{10}=0.15\text{ mm}$ 、 $C_u=2.33$ 、 $k=1.88 \times 10^2 \text{ cm/s}$ である。まず、アクリル樹脂製の水槽(20×90×50cm)の底から10cmの厚さに土の支持層を形成する。中央に杭を直立に押しこみ、水をはった後、2mmから5mmの間隔でひずみゲージを設け、30cm厚の飽和砂層を造る。このとき、所定の位置に水圧計(PI, PII, PIII)を配置する。約0.12Gの加速度で振動台を加振して砂層に液状化を発生させた。なお、加速度計は振動台上に、水圧計は側壁より10cmの所に図1のように配置した。振動台の振動数は8cps.である。

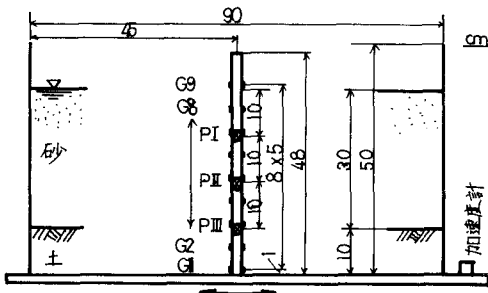


図-1

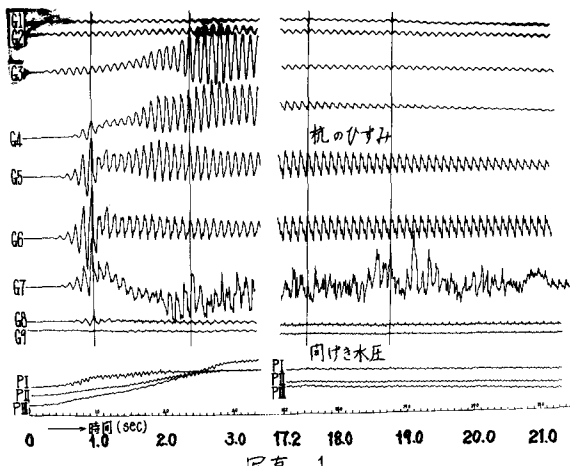


写真-1

[液状化層の推移、グランド・ブレークおよび杭の挙動] 杭の挙動、杭の曲げモーメント分布およびせん断力分布の例を各々、写真-1、図-2に示す。これらは砂層を急激に振動によって急速に液状化状態にさせた結果である。砂層は加振後、直ちに表層より液状化し、下層に液状化域を抜け、全層液状化し以後K、下層より安定(圧密)し、上層へ安定化域を抜けた。全層液状化に達した後、表面には激しい噴砂現象が発生し、暫く継続した。また、安定化域の上昇過程の途中で、砂層表面より10~12cm附近に凹面状のグランド・ブレークの発生しているのが確認された。これは表面より5cm附近で消滅した。また、写真-1から明らかにわかるK、土層部分のG1, G2のひずみのピークが初期から少し進んでおり、砂層が安定化すると同時に正(半周期)進むのが認められる。砂層部分ではG3, G4は砂層が液状化していったときには上層と同位相で振動していくが、液状化していくときには最大で各々π/2まで進むことが認められる。

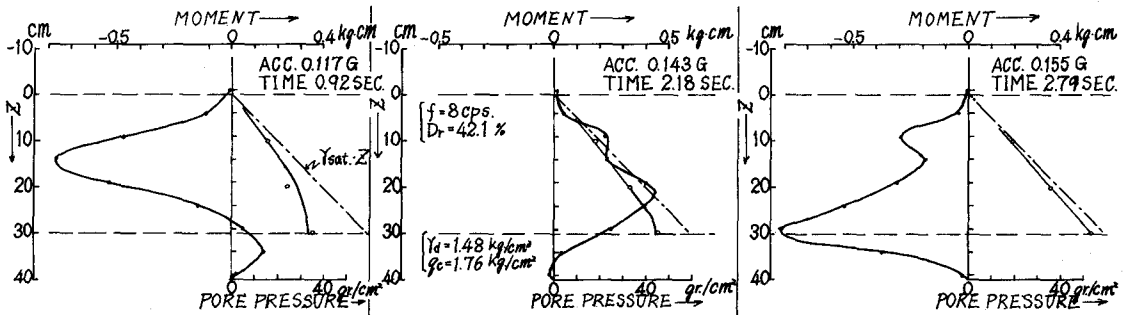


図-2(a)

図-2(b)

図-2(c)

[液状化層の推移と曲げモーメント分布] 写真-1, 図-2(a),(b),(c)を見れば解かりよう。液状化境界面の下降と共に最大曲げモーメント M_{max} の生ずる点は下降し、境界面附近で M_{max} が発生している。これは、液状化境界面を境として液状化層と液状化に至っていない層とで杭に対する拘束力が異なるためにある。

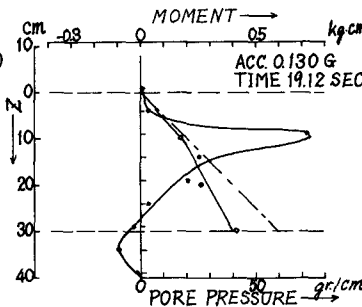


図-2(d)

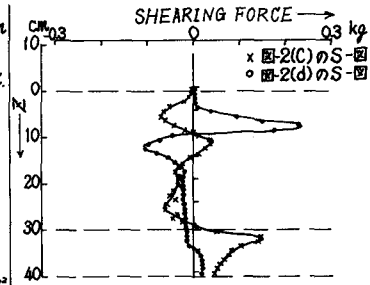


図-2(e)

すなはち液状化層では砂粒子は浮遊状態であり、杭の挙動を規制する砂層(sand mass)としての構造が崩壊してしまふに反し、境界面下層では砂粒子の粒子間力は過剰間引き水圧によって減少してはいても砂層構造を保持していく地盤反力を拘束力を發揮し得る状態にあると言ふ。液状化が全層に亘って発生し、 M_{max} が土層との境界部に達した後には、その地点の過剰間引き水圧の減少と砂粒子の沈降が生ずる。安定化層(液状化境界面)が上方へ発達していくにつれて M_{max} の点も上昇し、境界面附近で M_{max} が存在する。これで液状化発達時と同じメカニズムによるものとなる。しかし、砂粒子の沈降により境界面下層の密度がより密となることで地盤反力を拘束力が増加するにあらゆらず、 M_{max} 値は液状化発達過程の0.5~0.8倍である。

[グランド・ブレークと曲げモーメント] 写真-1より液状化が及ぶ深部に達すると、G7(表面より9cm)が不規則波形を示し、安定化過程後期で鋭いピークを示すのが見られる。この鋭いピークが現われた時期に側壁中央部の表面より10~12cm 附近でグランド・ブレークが発生した。この時の曲げモーメント分布、せん断力分布は図-2(d),(e)に示す通りである。この例の場合、グランド・ブレークは表面より10cm附近に発生した。他の曲げモーメント分布と比べれば M_{max} の立上りの鋭いピークが指摘できるが、その大きさは他の場合の M_{max} をほぼ同じである。また、せん断力分布は図-2(c)の場合と比べれば M_{max} 点で約1.5倍となり、過大せん断力が作用している。この現象は安定化の際に密な状態となつて下層でグランド・ブレークの上の層とが重なつて周期的振動を行なつていうにあらゆる。また、G7はグランド・ブレークが上昇し消滅する他の測点のいずれかと同周期となり、一様に減衰する安定な振幅の波形となつた。なお、図-2(b),(c)に見られるように曲げモーメント分布においてG7はオフのピークを示している。

[まとめ] 本実験から次の点が確認された。
 i) 液状化発達過程において液状化境界面附近に最大曲げモーメントが生ずる。
 ii) 安定化過程においても境界面附近に最大曲げモーメントが生ずる。しかし、その値は液状化発達過程の0.5~0.8倍である。
 iii) グランド・ブレークの発生した境界面上に鋭い曲げモーメント分布が生じ、液状化発達過程でのせん断力の約1.5倍のせん断力が作用する。以上のことより、地震時に際して液状化発達過程におけるグランド・ブレーク発生時の飽和砂地盤の杭への影響は無視され得ないと考えられる。